

PAPER DETAILS

TITLE: Selit Cevherinin Fiziksel ve Manyetik Alinganlik Ozelliklerinden Yararlanilarak
Zenginlestirilmesine Yonelik Deneysel Calisma

AUTHORS: Mahmut ALTINER

PAGES: 101-108

ORIGINAL PDF URL: <https://dergipark.org.tr/tr/download/article-file/371530>

Şelit Cevherinin Fiziksel ve Manyetik Alınganlık Özelliklerinden Yararlanılarak Zenginleştirilmesine Yönelik Deneyel Çalışma

Mahmut ALTINER^{*1}

¹Çukurova Üniversitesi, Mühendislik Mimarlık Fakültesi, Maden Mühendisliği Bölümü, Adana

Geliş tarihi: 05.01.2017 Kabul tarihi: 31.05.2017

Öz

Tungsten metali yüksek erime sıcaklığı (3.410°C) ve yoğunluğu ($19,3 \text{ g/cm}^3$) nedeniyle birçok endüstriyel uygulamada kullanılmaktadır. Aydınlatma lambalarının filamenti, tungsten metalinin günlük hayatı kullanımına en güzel örnek olarak gösterilmektedir. Ancak, doğada bulunan tungsten cevherlerinin WO_3 tenörü %0,30-%1,50 arasında değişmekte ve zenginleştirme işlemleri ile cevherin içeriği WO_3 tenörünün yükseltilmesi gereklidir. Bu sebeple Uludağ/Bursa bölgesinde alınan şelit cevherinin fiziksel ve manyetik alınganlık özelliklerinden yararlanılarak zenginleştirilmesi araştırılmıştır. Gemini masası ile cevherin WO_3 tenörü %84,37 verimle %0,32'den %5,01'e yükseltilmiştir. Manyetik ayırmaya testleri ile birlikte WO_3 tenörü %95 verimle %41,37 olmuştur. Son aşamada, kavurma işleminin ardından manyetik ayırmaya testleri tekrarlanmış, nihai konsantrin WO_3 tenörü %49,94 ve zenginleştirme prosesinin verimi %83,51 olarak hesaplanmıştır.

Anahtar Kelimeler: Şelit, Gemini masası, Manyetik ayırmaya, Yoğunluk, Manyetik alınganlık

Experimental Study on Beneficiation of Scheelite Ore through its Physical and Magnetic Susceptibility Properties

Abstract

Tungsten metal is used in many industrial applications due to its high melting temperature ($3,410^{\circ}\text{C}$) and density (19.3 g/cm^3). The filament of lamps can be shown as the best example for the daily use of tungsten metal. WO_3 content of tungsten ores however varies from 0.30% to 1.50% in nature. It is necessary that the WO_3 content of the ore must be increased through beneficiation methods. For this purpose, beneficiation of scheelite ore collected from Uludag/Bursa was investigated depending on its physical and magnetic susceptibility properties. The WO_3 content of scheelite ore increased to 5.01% from 0.32% with 84.37% recovery using a Gemini shaking table. Thereafter, that value was upgraded to 41.37% with 95% recovery after the magnetic separation. In the last stage, roasting followed by magnetic separation tests were performed and the WO_3 content of final concentrate was 49.94% and the recovery of the process conducted in this paper was calculated as 83.51%.

Keywords: Scheelite, Gemini table, Magnetic separation, Density, Magnetic susceptibility

^{*}Sorumlu yazar (Corresponding author): Mahmut ALTINER, *maltiner@cu.edu.tr*

1. GİRİŞ

Tungsten, metaller arasında en yüksek erime sıcaklığına sahip olması (3.400°C) ve yoğunluğu nedeniyle ($19,3 \text{ g/cm}^3$), endüstriyel alanda birçok kullanım alanına (çelik, elektrik, tekstil ve deri sektörü vb.) sahiptir [1]. Endüstriyel alandaki artan bu gibi talep üzerine dünya genelinde düşük tenörlü kompleks tungsten cevherlerinin zenginleştirilmesi ile ilgili çalışmalar artmıştır [2].

Dünya genelinde tungsten cevheri tenörü $\%0,3\text{--}1,5$ WO_3 arasında değişmekte ve zenginleştirme işlemleriyle cevherin tenörünün yükseltilmektedir. Tungsten metalini içeren cevherler volframit ($\text{Fe,Mn}(\text{WO}_4)$) ve şelit (CaWO_4) cevherleridir ve yoğunlukları sırasıyla $7,1\text{--}7,9 \text{ g/cm}^3$ ve $5,9\text{--}6,1 \text{ g/cm}^3$ arasında değişmektedir [3].

Bu tip cevherlerin tenörlerinin istenilen seviyeye çıkartılması için üç ana aşama uygulanmaktadır. Bunlar; (i) tüvanan cevherin içeriği minerallerin fiziksel özelliklerinden yararlanılarak gravite yöntemleri ile $\%5$ ile $\%40 \text{ WO}_3$ içeren konsantre elde edilebilir. (ii) hidrometalurjik (özütleme) ve pirometalurjik işlemler (kavurma) ile selektif şekilde WO_3 konsantrasyonun yükseltilmesi sağlanabilir. (iii) hidrometalurjik işlemler ile çözeltiye alınan tungsten metali solvent ekstraksiyon, elektro-kazanım gibi yöntemler uygulanarak elde edilebilir [4].

Tungsten metalini içeren cevherlerin özgünlüğünün yüksek olması, fiziksel yöntemler uygulanarak kolaylıkla cevherin tenörünün artırılmasını sağlamaktadır. Ayrıca, tungsten metalini içeren cevherin özelliğine göre flotasyon ile zenginleştirme işlemi yapılmaktadır [5-8]. Cevherin içeriği demirli kısmın manyetik alinganlık özelliğine bağlı olarak manyetik ayırmalar ile cevherin tenörü yükseltilmemektedir [9].

Lu ve arkadaşları [10] yaptıkları çalışmada ön zenginleştirme aşamasında yüksek alan şiddetli yaş manyetik ayırmalarının Falcon konsantratöründe göre daha iyi sonuçlar verdiği belirlenmiştir. Manyetik ayırmalarla elde edilen konsantrenin WO_3 tenörü $\%7,01$ ($\%80,23$ kazanma

verimi) iken, Falcon konsantratörü kullanılarak elde edilen ürünün içeriği WO_3 miktarı $\%0,45$ 'den $\%57,25$ kazanma verimiyle $\%3,63$ 'e yükselmiştir. Yapılan bir başka çalışmada ise jig, sallantılı masa ve multi gravite cihazları (MGS) kullanılarak bakırlı tungsten cevherinin zenginleştirilebilirliği araştırılmıştır [11]. Sonuçlar, sallantılı masanın diğer iki fiziksel ayırmaya yöntemine göre daha iyi sonuçlar verdiği göstermiştir. Besleme malının WO_3 tenörü $\%1,5$ iken; jig, sallantılı masa ve MGS testleri için bu değer sırasıyla $\%2,85$, $\%8,20$ ve $\%4,2$ 'e yükselmiştir. Bir başka çalışmada ise [1]; tek aşamalı jig ile -12 mm tane boyutunda hazırlanan tungsten cevherinin içeriği WO_3 miktarı $\%0,5$ 'ten $\%4,5$ 'e yükselmiştir. Altın içeren şelit cevherinin sallantılı masa ile zenginleştirilmesi sonucunda (1 kaba – 2 temizleme aşaması ile birlikte), nihai konsantrasyon olarak elde edilen cevherin içeriği WO_3 miktarı $\%0,17$ 'den $\%19,2$ 'e yükselmiştir [12].

Bu çalışmada, Uludağ/Bursa bölgesinden alınan $\%0,32 \text{ WO}_3$ tenörüne sahip şelit cevherinin fiziksel ve manyetik alinganlık özelliklerinden yararlanılarak zenginleştirilmesi araştırılmıştır. Bu çalışma, dört aşamadan oluşmuştur ve sırasıyla kırma – öğütme – eleme – sınıflandırma işlemini takiben Gemini masası ile tüvanan cevherin ön zenginleştirilmesi gerçekleştirilmiştir. Daha sonra ise cevherin içeriği manyetik alinganlığı yüksek minerallerin uzaklaştırılması sağlanmıştır. Son aşamada ise, manyetik alinganlığı düşük minerallerin manyetik alinganlıklarının yükseltilmesi ve karbonat içerikli minerallerin içeriği CO_2 'nın ortamdan uzaklaştırılması için kavurma işlemi gerçekleştirilmiş ve son bir manyetik ayırmalar ile nihai konsantrasyon elde edilmiştir.

2. MATERYAL VE METOT

2.1. Materyal

Deneysel çalışmalarında kullanılmak üzere yaklaşık 250 kg ($d_{100} = 100 \text{ mm}$) şelit cevheri Uludağ/Bursa bölgesinden alınarak Ç.Ü. Maden Mühendisliği bölüm laboratuvarlarına getirilmiştir. Çeneli kırıcı ile boyut küçültme işlemi gerçekleştirilmiş ve

konileme-dörtleme işlemiyle cevheri temsil edecek şekilde kimyasal analiz için örnekler hazırlanmıştır. X-İşini Floresans (XRF, PANAnalytical) cihazı kullanılarak şelit cevherinin kimyasal bileşimi belirlenmiştir. Temsili olarak hazırlanan örneğin WO_3 miktarı ise ICP-OES (Perkin Elmer) cihazı kullanılarak belirlenmiştir (Çizelge 1).

Çizelge 1. Uludağ/Bursa bölgesinden getirilen tüvanan cevherinin kimyasal bileşimi

Element	(%)	Element	(%)
MgO	1,60	K ₂ O	0,81
Al ₂ O ₃	4,70	CaO	35,09
SiO ₂	32,20	Cr ₂ O ₃	0,102
SO ₃	0,31	MnO	3,97
Fe ₂ O ₃	18,41	CuO	0,075
MoO ₃	0,84	WO ₃	0,32
Kızdırma kaybı: %12,71			

2.2. Metot

İlk aşamada, Uludağ/Bursa bölgesinden getirilen şelit cevheri kırma–ögütme–eleme–sınıflandırma işlemlerine tabi tutulmuş ve hedeflenen tane boyut aralığında örnekler hazırlanmıştır. Şekil 1'de gösterilen akım seması dikkate alınarak bu çalışma gerçekleştirilmiştir.

Şekil 1'de temsili olarak gösterilen ve deneyler sırasında izlenen yol aşağıda ayrıntılı olarak anlatılmıştır.

Aşama 1

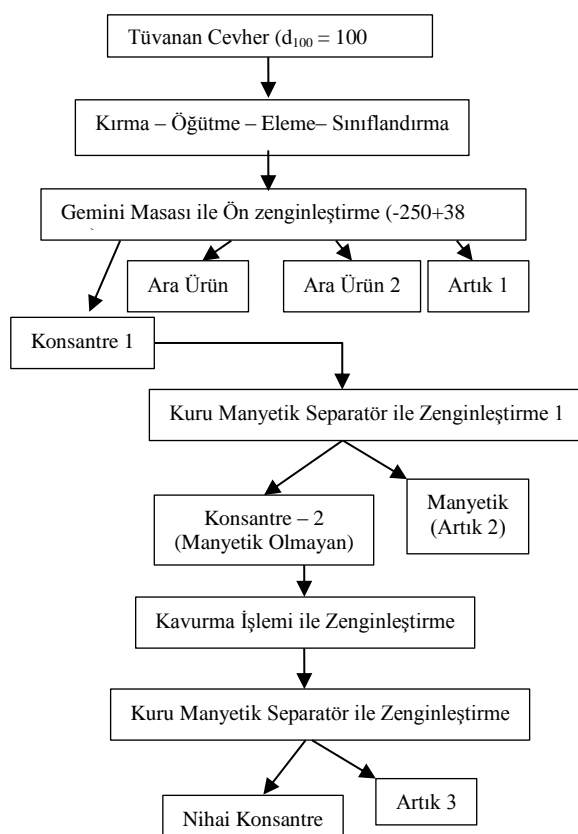
Kırma – Öğütme – Eleme – Sınıflandırma:

Bu aşamada, tüvanan cevher çeneli kırıcı ve çubuklu dejermenin yardımıyla yapılan ön deneylerdeki değerler dikkate alınarak 250 μm 'nin altına indirilmiştir. Elek analizi işlemi sırasında 38 μm 'lik eleğin altına geçen taneciklerin deneyler sırasında şlam etkisi gösterebileceği düşünülmüştür. Bu nedenle, zenginleştirme işlemleri öncesi eleme ile uzaklaştırılmıştır.

Aşama 2

Gemini Masası ile Ön Zenginleştirme

Deneylerde Çukurova Üniversitesi, Jeoloji Mühendisliği Bölümü'nde bulunan Gemini Masası kullanılmıştır. -250+38 μm tane boyutunda hazırlanan cevher, Gemini masası ile ön zenginleştirme işlemine tabi tutulmuş ve manyetik ayırma işlemleri öncesinde içeriği WO_3 miktarının yükselmesi hedeflenmiştir.



Şekil 1. Uludağ/Bursa bölgesinden alınan şelit cevherinin zenginleştirme akım şeması

Cevher masaya beslenmeden önce %40 katı oranına sahip olacak şekilde su ile karıştırılmış ve sisteme palp şeklinde beslenmesi sağlanmıştır. Aynı zamanda 6 L/dk hızında yıkama suyu masa üzerine beslenmiştir. Masanın genlik uzunluğu ise 9 mm'dir ve dakikada 130 kez vuruş hareketi gerçekleştirmektedir.

Masadan konsantre, ara ürün 1, ara ürün 2 ve artık olmak üzere 4 farklı ürün elde edilmiştir. Ürünler önceden 105 °C sıcaklığa ayarlanan etüvde sabit tartıma gelinceye kadar kurutulmuştur. Her bir ürünün WO₃ içeriği ICP cihazı ile belirlenmiştir. Ara ürün 1 ve Ara ürün 2 birleştirilip Gemini masasına tekrar beslenmiştir.

Aşama 3

Kuru Manyetik Ayırma ile Zenginleştirme

Bir önceki aşamada elde edilen konsantre, bu aşamada besleme malı olarak kullanılmıştır. Deneylerde Çukurova Üniversitesi, Jeoloji Mühendisliği Bölümü'nde bulunan Frantz Magnet marka kuru manyetik ayırma cihazı kullanılmıştır. Deneylerde cihazın eğimi 20° olacak şekilde sabit tutulmuştur. 5 farklı Gauss (2.000, 4.000, 8.000, 12.000 ve 15.000) şiddetinde deneyler gerçekleştirilmiştir. Her bir ürünün WO₃ içeriği ICP cihazı ile belirlenmiştir.

Aşama 4

Kavurma ve Kuru Manyetik Ayırma İşlemi

Bu aşamada, bir önceki aşamada elde edilen konsantre 800 °C sıcaklıkta 1 saat boyunca kül fırınında kavurma işlemeye tabi tutulmuştur. Belirtilen süre sonunda, numunenin ağırlık kaybı ölçülmüş ve kavurma işlemi sonunda elde edilen ürünün WO₃ içeriği daha önce belirtilmiş olan yöntemler kullanılarak belirlenmiştir. Ayrıca numune tekrar kuru manyetik ayırma cihazı ile zenginleştirme işlemeye tabi tutulmuş ve kavurma işlemi ile manyetik özelliği arttırdığı düşünülen demirli kısım ile şelit cevherinin ayrılması hedeflenmiştir.

Tüm işlemler sonucunda, Rigaku Miniflex II X-Işını difraksiyon (XRD) cihazı kullanılarak elde edilen nihai ürünün mineral kompozisyonu belirlenmiştir. Her bir aşamada zenginleştirme verimi aşağıda verilen Eşitlik 1 kullanılarak hesaplanmıştır.

$$V = \frac{C_1 \times c_2}{F_1 \times f_2} \times 100 \quad (1)$$

V = Zenginleştirme verimi (%)

C₁ = Konsantre miktarı (%)

c₂ = Konsantrenin içерdiği WO₃ tenörü (%)

F₁ = Besleme malı miktarı (%)

f₂ = Besleme malının içerdığı WO₃ tenörü (%) değerlerini göstermektedir.

3. ARAŞTIRMA BULGULARI

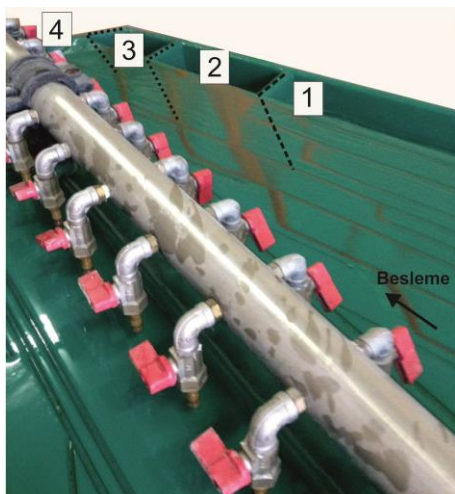
3.1. Gemini Masası ile Ön Zenginleştirme

Yoğunluk farkı prensibine göre çalışan zenginleştirme cihazlarında, iki tanecik arasındaki yoğunluk farkı 2'den fazla ise ayırm oldukça kolay olmaktadır [13]. Şelit cevherinin özgül ağırlığı 5,9 ile 6,1 g/cm³ arasında iken, gang mineral olarak adlandırılan diğer minerallerin yoğunlukları 2,6 ile 4,3 g/cm³ arasında değişmektedir. Manyetit cevherinin ise yoğunluğu 5-5,5 g/cm³ arasında olup şelit cevherinin yoğunluğuna oldukça yakındır. Bu bilgiler ışığında, Gemini masası ile yapılan zenginleştirme işleminde şelit cevherinin bünyesindeki kalsit ve kuvars gibi gang minerallerin uzaklaştırılabileceği ön görülmüştür.

Zenginleştirme işlemleri sırasında şlam etkisinin önlenebilmesi ve CaWO₄'ün şlam içinde kaçak olmaması için kontrollü bir şekilde çubuklu değirmen ile öğütme işlemi gerçekleştirilmiştir. Öğütme işlemi sırasında 10 dk'da bir değirmen durdurulmuş ve elek analizi yapılarak -250+38 µm boyutuna indirilen malzeme ayrılmış ve aynı miktarda yeni besleme malı eklenmiş ve öğütme işlemeye devam edilmiştir. Tüvanan cevherin d₁₀₀ değeri kırma-ögütme-eleme-sınıflandırma işlemleri ile birlikte 250 µm'nın altına indirilmiştir. Her bir deneyde kullanılan besleme malı miktarı 10 kg'dır.

Şekil 2'de görüldüğü gibi, masa üzerine beslenen cevherden dört farklı ürün elde edilmiştir. Yoğunluk farkına prensibine bağlı olarak yapılan ayırm sonucunda 1 numaralı hazne kısmından yoğunluğu düşük olan ürünler artık olarak alınmıştır. 2 ve 3 numaralı haznelerden ise "ara ürün" olarak adlandırılan örnekler elde edilmiştir. Yoğunluğu fazla olan ve konsantre olarak

adlandırılan tanecikler ise 4 numaralı hazneden masayı terk etmiştir.



Şekil 2. Zenginleştirme işleminde kullanılan Gemini masasına ait görüntü (1: artık, 2: ara ürün, 3: ara ürün 2, 4: konsantre)

Deney sonunda elde edilen dört farklı ürünün ağırlıkları %5,39 konsantre, %2,34 ara ürün 1, %5,54 ara ürün 2 ve %86,74 artık olarak belirlenmiştir. Gemini masasının zenginleştirme veriminin hesaplanabilmesi için XRF cihazı yardımıyla gerçekleştirilen deneylerde konsantre, ara ürün 1, ara ürün 2 ve artık olarak adlandırılan numunelerin içeriği Fe_2O_3 , CaO , Al_2O_3 , SiO_2 , SO_3 , MnO , MoO_3 ve WO_3 miktarları belirlenmiştir (Çizelge 2).

Gördüğü gibi, besleme malının içeriği WO_3 miktarı %0,32 iken, Gemini masası ile yapılan ön zenginleştirme işlemiyle birlikte bu değer %5,01'e yükselmiştir. Zenginleştirme verimi %84,37 olarak belirlenmiştir. Literatürde yapılan çalışmalar ile kıyaslandığında [1]; jig ile yapılan ön zenginştirmeye göre Gemini masasının daha yüksek verimde çalıştığı belirlenmiştir. Bu farklılığın cevherin tane boyutu serbestleşmesi ile alakalı olduğu düşünülmektedir. Daha iri boyutlarda çalışan jig cihazında yapılabilecek bir ön zenginleştirme işlemi nedeniyle yüksek WO_3 içeriğine sahip artık elde edilmesine neden olacağı tahmin edilmiştir.

Çizelge 2. Gemini masası deneylerinde elde edilen dört farklı ürünün kimyasal bileşimleri

Konsantre			
Ağırlık %5,39	Element (%)	Element (%)	
Al_2O_3	3,00	CaO	18,70
SiO_2	16,40	MnO	4,12
SO_3	6,20	MoO_3	2,70
Fe_2O_3	42,58	WO_3	5,01
Ara Ürün - 1			
Ağırlık %2,34	Element (%)	Element (%)	
Al_2O_3	3,60	CaO	22
SiO_2	18,30	MnO	4,89
SO_3	5,40	MoO_3	1,80
Fe_2O_3	41,01	WO_3	1,08
Ara Ürün - 2			
Ağırlık %5,54	Element (%)	Element (%)	
Al_2O_3	4,40	CaO	26,2
SiO_2	20,30	MnO	5,44
SO_3	4,22	MoO_3	0
Fe_2O_3	34,36	WO_3	0,46
Artık			
Ağırlık %86,74	Element (%)	Element (%)	
Al_2O_3	5,41	CaO	40,17
SiO_2	36,72	MnO	4,62
SO_3	0,32	MoO_3	0,85
Fe_2O_3	21,13	WO_3	0,20

Çizelge 2'de verilen kimyasal analiz sonuçları incelendiğinde; ürünün içeriği WO_3 miktarındaki artış paralel olarak Fe_2O_3 oranı yükselmiş, SiO_2 ve CaO oranları düşmüştür. Bu durum, yoğunluk farkı prensibine göre çalışan zenginleştirme sisteminde beklenen bir durumdur. Bu aşamada elde edilen nihai konsantre, Şekil 1'de verilen akım şemasından da anlaşılabileceği üzere manyetik ayırma deneylerinde besleme mali olarak kullanılmıştır.

3.2. Kuru Manyetik Ayırma ile Zenginleştirme

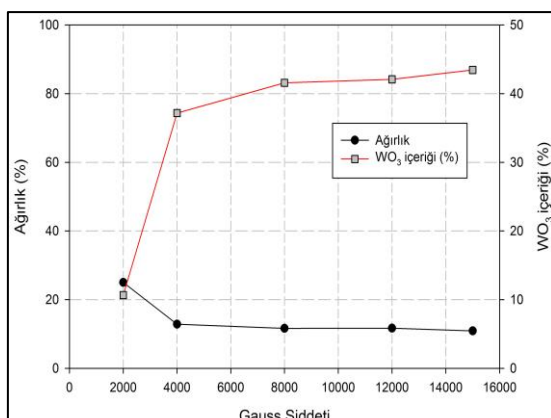
Bu aşamada, dört farklı Gauss şiddetinde kuru manyetik ayırma deneyleri gerçekleştirilmiştir. Çizelge 3'de dört farklı Gauss şiddetinde gerçekleştirilen deneyler sonucunda elde edilen manyetik ve manyetik olmayan ürünlerin yüzdece ağırlıkları ve WO_3 içerikleri verilmiştir.

Elde edilen değerlerin daha iyi anlaşılabilmesi için Çizelge 3'de verilen değerler kullanılarak Şekil 3'de görülen grafik çizilmiştir. Eğer 2.000

Gauss şiddetinde manyetik ayırma işlemleri gerçekleştirilirse elde edilen manyetik olmayan ürünün WO_3 değeri %15'in altında olmuştur.

Çizelge 3. Farklı Gauss şiddetlerinde yapılan manyetik ayırma testlerinden elde edilen manyetik olmayan ürünlerin yüzdece ağırlıkları ve WO_3 içerikleri

Gauss Şiddeti	Manyetik Olmayan Ürün		Manyetik Ürün	
	Ağırlık (%)	WO_3 (%)	Ağırlık (%)	WO_3 (%)
2.000	25,01	10,66	74,99	0,80
4.000	12,85	37,17	87,15	0,27
8.000	11,63	41,57	88,37	0,20
12.000	11,70	42,08	88,30	0,10
15.000	10,92	43,44	89,08	0,30

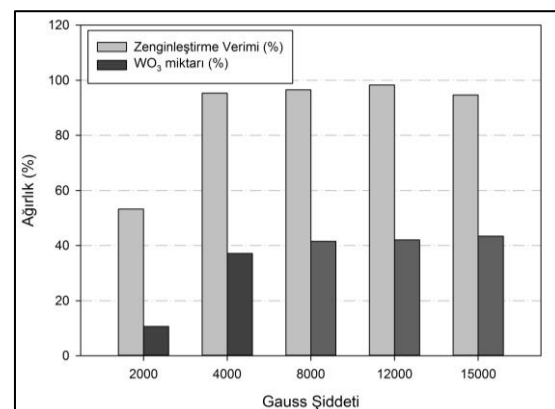


Şekil 3. Manyetik ayırma şiddetine bağlı olarak elde edilen manyetik olmayan numune miktarı ve WO_3 değerleri

Uygulanan 8.000 Gauss şiddetine elde edilen ürün miktarı ağırlıkça %11,63 ve içeriği WO_3 miktarı %41,57 olarak belirlenmiştir. Daha yüksek Gauss şiddetlerinde gerçekleştirilen manyetik ayırma deneylerinde elde edilen ürünlerin WO_3 değerleri birbirine oldukça yakın çıkmıştır.

Gauss şiddeti ve zenginleştirme verimleri arasındaki ilişki Şekil 4'de verilmiştir. Gauss şiddeti 2.000 iken, zenginleştirme verimi %50'in altında kalmıştır. Gauss şiddeti 2.000'den 4.000'e yükseldiğinde ise zenginleştirme verim değeri %90'ın üzerine çıkmıştır.

Sonuç olarak; gerçekleştirilen manyetik ayırma deneylerinde zenginleştirme verimleri dikkate alındığında en iyi Gauss şiddeti 8.000 olarak belirlenmiştir. Elde edilen nihai ürünün kimyasal içeriği Çizelge 4'de görülmektedir.



Şekil 4. Gauss şiddetine bağlı olarak şelit cevherinin zenginleştirme verimi

Çizelge 4. Manyetik ayırma işlemler sonucunda en iyi zenginleştirme verimine sahip ürünün içeriği

Element	Miktar (%)	Element	Miktar (%)
Bi_2O_3	2,72	CaO	19,18
SiO_2	16,27	MnO	0,498
SO_3	6,30	MoO_3	7,70
Fe_2O_3	5,86	WO_3	41,57

3.3. Kavurma ve Kuru Manyetik Ayırma ile Zenginleştirme

Bir önceki aşamada 8.000 Gauss şiddetine yapılan manyetik ayırma işlemi sonucunda elde edilen ve WO_3 miktarı %41,57 olan nihai ürün, 800°C sıcaklıkta 1 saat boyunca kavurma işlemine tabi tutulmuştur. Belirtilen süre sonunda ürünün WO_3 miktarı %41,57'den %47,24'e yükselmiştir (Çizelge 5).

Ayrıca, kavurma işlemi ile birlikte nihai ürünün içeriği demirli kısmın manyetik alınganlık özelliği artırılması hedeflenmiştir. Bu sebeple, ürün bir önceki aşamada uygun değer olarak belirlenen Gauss şiddetine manyetik ayırma

testine tabi tutulmuştur. Elde edilen sonuçlar (Çizelge 4 ve 6) kavurma sonrası demirli kısmın manyetik alınganlık özelliğinin arttığını göstermektedir. Elde edilen bu bulgu literatürde yapılmış olan önceki çalışmaları destekler niteliktedir [14-16]. Nihai ürün olarak adlandırılan ürünün WO_3 içeriği böylece %49,94'e yükselmiştir (Çizelge 6).

Çizelge 5. Kavurma işlemi sonunda elde edilen ürünün içeriği

Element	(%)	Element	(%)
Bi_2O_3	3,09	CaO	21,80
SiO_2	19,49	MnO	0,57
SO_3	6,16	MoO_3	8,75
Fe_2O_3	6,66	WO_3	47,24

Çizelge 6. İkinci manyetik ayırma işlemi sonucunda elde edilen nihai ürünün içeriği

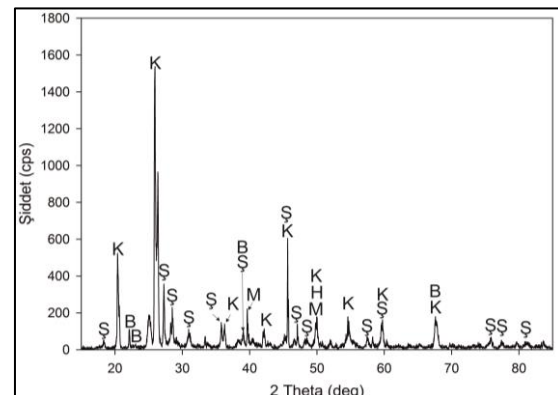
Element	(%)	Element	(%)
Bi_2O_3	3,27	CaO	23,04
SiO_2	20,55	MnO	0,60
SO_3	6,57	MoO_3	9,25
Fe_2O_3	0,60	WO_3	49,94

Nihai konsantreye ait XRD grafiği Şekil 5'de verilmiştir. Görüldüğü gibi; şelit cevherinin yanı sıra, kuvars, hematit, molibdenit ve bizmut mineralleri tespit edilmiştir. Elde edilen nihai şelit konsantresi, hidrometalurjik yöntemlerle tungsten metalinin üretimi için uygun değerlendirilmiştir [17-19].

4. SONUÇLAR

Bu çalışmada, Uludağ/Bursa bölgelerinden getirilen şelit cevherinin fiziksel ve manyetik özellik farklılıklarından yararlanılarak zenginleştirilmesi araştırılmıştır. Tüvanan cevherin WO_3 içeriği %0,32 iken, dört farklı aşamada zenginleştirme işlemeye tabi tutulan cevherin WO_3 içeriği %49,94'e yükseltilmiştir. Önerilen akım şemasında, sisteme 1 ton tüvanan cevher beslenirse 5,35 kg konsantre ürün elde edilecek ve şelit cevherinin genel zenginleştirme verimi %83,51 olacaktır. Ancak, XRD grafiğinden de anlaşılacağı gibi; nihai konsantrenin içinde istenmeyen kuvars ve hematit gibi mineraller tespit edilmiştir.

Yoğunluk farkı ve manyetik alınganlık özelliklerine göre bu minerallerin ayrılması beklenmemektedir. Bu problemin tane boyut dağılımı ile alakalı olduğu düşünülmektedir. Daha ince boyutlarda yapılabilecek çalışmada bu gang minerallerinde uzaklaştırılmasının sağlanacağı düşünülmektedir. Buna karşın, boyut küçültme işlemine bağlı olarak Gemini masasının çalışma verimi düşebilecektir. Bu sebeple, daha ince boyutlarda flotasyon işlemi gerçekleştirilebilir ve daha yüksek verimlerde zenginleştirme sağlanabilecektir. Şelit konsantresi amonyum paratungstat (APT) üretimi için hammadde olarak kullanılmaktadır. Literatürde %5 ile %20 WO_3 tenörlü cevherlerin APT üretiminde kullanılabildiği belirtilmiştir [20]. Bu sebeple, bu çalışmada üretilen şelit konsantresi, seçimi öztürme işlemeye tabi tutulacak ve ilerleyen zamanlarda APT üretimi için yapılacak çalışmada hammadde olarak kullanılacaktır. Ayrıca, nihai artık olarak elde edilen ürünün Fe_2O_3 değeri oldukça yüksek (%59,17) ve ekonomik olarak değerlendirilebilecek niteliktedir.



Şekil 5. Nihai konsantreye ait X-İşini difraksiyon (XRD) grafiği (\$: Şelit, K: Kuvars, B: Bizmut, M: Molibdenit, H: Hematit)

5. TEŞEKKÜR

Yazar, bu çalışmada laboratuvar imkanlarının kullanılmasına izin veren Öğr. Gör. Dr. Fatih KARAOĞLAN'a, deneyler sırasında yardımcıları için Arş. Gör. Emrah ŞİMŞEK'e ve katkıları için Prof. Dr. Mehmet YILDIRIM'a teşekkürü bir borç bilir.

6. KAYNAKLAR

1. Srivastava, J.P., Pathak, P.N., 2000. Pre-concentration: A Necessary Step for Upgrading Tungsten ore, Int. J. Miner. Process., vol. 60, pp. 1–8.
2. Dongfang, L., Yuhua, W., Tao, J., Wei S., HU, Y., 2016. Study on Pre-concentration Efficiency of Wolframite from Tungsten ore Using Gravity and Magnetic Separations, Physicochem. Probl. Miner. Process., vol. 52, p. 719–729.
3. Blackburn, W. H., Denner, W. H., 1988. Principles of Mineralogy, 413 pp. 1st edition, W.C. Browns Publishers, Dubuque, Iowa, USA.
4. Srinivas, K., Sreenivas, T., Natarajan, R., Padmanabhan N.P.H., 2000. Studies on the Recovery of Tungsten from a Composite Wolframite–scheelite Concentrate, Hydrometallurgy, vol. 58, pp. 43-50.
5. Gao, Y., Gao, Z., Sun, W., Hu, Y., 2016. Selective Flotation of Scheelite from Calcite: A Novel Reagent Scheme. International Journal of Mineral Processing, vol. 154, pp. 10-15.
6. Feng, B., Guo, W., Xu, H., Peng, J., Luo, X., Zhu, X., 2017. The Combined Effect of lead Ion and Sodium Silicate in the Flotation Separation of Scheelite from Calcite. Separation Science and Technology, vol. 52(3), pp. 567-573.
7. Bhatti, M.A., Kazmi K. R., Mehmood, R., akram, A., 2014. Flotation Study on Scheelite ore of Chitral, Khyber Pakhtunkhwa, Pakistan. Pakistan Journal of Scientific and Industrial Research. Series A. Physical Sciences, vol. 145 (3), pp. 145-153.
8. Hui, S., 2015. Flotation Experiments of a Low-grade Scheelite. Metal Mine, 1, 015.
9. Weiss, N. L., 1985. SME Mineral Processing Hand book, vol. 2, Section 27, 18 pp, Society of Mining Engineers (SME) of AIME, New York, USA.
10. Lu, D., Wang, Y., Jiang, T., Sun, W., Hu, Y., 2016. Study on Pre-concentration Efficiency of Wolframite from Tungsten ore using Gravity and Magnetic Separations. Physicochemical Problems of Mineral Processing, vol. 52(2), pp. 718-728.
11. Hedayati H. S., Noaparast, M., Tonkaboni, S. Z. S. M., Hosseini, S. M., 2016. Application of Gravity Separators for Enrichment of South Chah-Palang Tungsten Ore. Int. Journal of Mining & Geo-Engineering, vol. 50(1), pp. 1-12.
12. Greaves, J. N., 1989. Tungsten and Gold Recovery from Alaskan Scheelite-bearing Ores. Report of Investigations 9251, Bureau of Mines and United States Department of the Interior.
13. Wills, B. A., 1992. Mineral Processing Technology, 464 pp. 5th Edition, Pergamon Press, New York, USA.
14. Cui, Z., Liu, Q., Etsell, T. H. 2002. Magnetic Properties of Ilmenite, Hematite and Oilsand Minerals After Roasting. Minerals Engineering, vol. 15(12), pp. 1121-1129.
15. Hrouda, F., 2003. Indices for Numerical Characterization of the Alteration Processes of Magnetic Minerals Taking Place During Investigation of Temperature Variation of Magnetic Susceptibility. Studia Geophysica et Geodaetica, vol. 47(4), pp. 847-861.
16. Merritt, R. R., Cranswick, L. M. D., 1994. The Origin of Magnetic Susceptibility in Roasted Ilmenite. In 6th AusIMM Extractive Metallurgy Conference. Melbourne: The Australian Institute of Mining and Metallurgy (pp. 171-180).
17. Kazmi, K. R., Bhatti, M.A., Bhatti, A., Mehmood, A., Anwar, M.S., Sheikh, S.T., 2012. Beneficiation Studies on Low-grade Tungsten Ore of Chitral, Khyber Pakhtunkhwa, Pakistan. Pakistan Journal of Scientific and Industrial Research, vol. 55, pp.8-13.
18. Guar, R.P. S., 2006. Modern Hydrometallurgical Production Methods for Tungsten, Journal of the Minerals, Metals and Materials Society, vol 58, pp. 45 – 49.
19. Razavizadeh, H., Langrouri, A.E., 2006. Production of Tungsten Via Leaching of Scheelite With Sulfuric Acid, Minerals and Metallurgical Processing, vol. 23, pp.67-72.
20. Zhao, Z., Li H., Liu, M., Sun, P., Li Y., 1996. Soda Decomposition of Low-grade Tungsten ore Through Mechanical Activation, Journal of Central South University of Technology, vol. 3 pp. 181-184.